

$\text{Si}_3\text{N}_4-\text{Al}_2\text{O}_3-\text{SiO}_2$ 系의 1,700°C에서 生成하는 化合物의 相關係 및 微構造

李 義 鐘 · 金 健 煥

서울大 工大 窯業科

(1979年 11月 5日 接受)

Phase Relations and Microstructure of Compounds in the $\text{Si}_3\text{N}_4-\text{Al}_2\text{O}_3-\text{SiO}_2$ system at 1700°C.

Eey-Jong Lee and Hwan Kim

Dept. of Ceramic Eng., Seoul National University

(Received Nov. 5, 1979)

ABSTRACT

The phase relations and microstructure appeared at 1700°C in a system of $\text{Si}_3\text{N}_4-\text{Al}_2\text{O}_3-\text{SiO}_2$ were studied.

The samples were pressurelessly sintered at 1700°C for 1hr and reheated at 1600°C for 1hr under nitrogen atmosphere. The compounds formed were identified by X-ray diffraction method and the microstrues were observed by SEM.

The stable phases appeared in this system were X-phase, Si_2ON_2 , β' - Si_3N_4 and Mullite.

From the results of those experiments, it was concluded that the X-phase has very close composition to that proposed by G. K. Layden, $\text{Si}_2\text{Al}_6\text{O}_{12}\text{N}_2$. SEM photographs showed that Si_2ON_2 was a plate phase and X-phase was a rectangular plate phase.

I. 緒 論

最近 炭化物이나 硼化物이 耐熱構造材料로서 많은 注目을 받고 있으며 그中에서도 特히 Si_3N_4 는 約1900°C의 中性 및 還元雰囲氣中에서 脱離分解하여 耐熱性이 높아 1870°C 까지 安全하게 使用할 수 있을 뿐만 아니라 機械的 強度가 1200°C 까지 유지되는 特性을 갖고 있다. 또한 硬度도 SiC 와 같은 모스硬度 9를 나타내며 그밖에 高溫材料로서 適合한 耐熱衝擊性 및 化學的으로 安定한 性質을 갖고 있으므로 現在 이에 대한 研究가 活發히 進行되고 있으며 工業的인 實用에 對하여도 檢討되고 있다.

그리나 Si_3N_4 는 理論密度가 β 相이 3.187g/cm^3 에 達하지만 普通의 常壓燒結에 依する 경우 $1.7\sim2.7\text{g/cm}^3$ 의 範圍程度도 加壓燒結에 依하지 않고는 좀처럼 치밀

한 燈結體를 얻기 어렵다.¹⁾

따라서 치밀한 燈結體를 얻기 위해 $\text{MgO}^{(2)}$, $\text{Al}_2\text{O}_3^{(3)} 3\sim40%$, $\text{Y}_2\text{O}_3^{(4)}$, $\text{ZrO}_2^{(5)}$ 등을 첨가한 加壓燒結法 및 $\text{Si}_3\text{N}_4-\text{AlN}-\text{Al}_2\text{O}_3^{(6)}$, $\text{Si}_3\text{N}_4-\text{AlN}-\text{SiO}_2^{(7)}$, $\text{Si}_3\text{N}_4-\text{Y}_2\text{O}_3-\text{Al}_2\text{O}_3-\text{SiO}_2^{(8)}$, $\text{Si}_3\text{N}_4-\text{MgO}-\text{SiO}_2^{(9)}$, $\text{Si}_3\text{N}_4-\text{SiO}_2-\text{Y}_2\text{O}_3^{(10)}$ 系에 關하여 多數의 論文이 發表되고 있다.

本研究에서는 現在까지 充分히 알려져 있지 않은 $\text{Si}_3\text{N}_4-\text{Al}_2\text{O}_3-\text{SiO}_2$ 系를 選定하여 1,700°C에서 이들의 相關係를 明確하고 이 三成分系에서 離은 범위에 存在하는 X-phase 및 Si_2ON_2 化合物의 微構造를 관찰하고자 한다.

II. 實驗方法

II-1 原料

出發原料인 Si_3N_4 粉末은 純度 99.9%이 상인 AME社

製로써 α 및 β 型이 1:1의比로構成되어 있으며, 그分析値는 Table 1에 나타낸 바와 같다. 또한 Al_2O_3 는關東化學(株)製이며 SiO_2 는和光純藥(株)製의特許試

藥을使用하였으며 이들原料는各各마노유벌에서325mesh以下로분쇄하여使用하였다.

Table 1. Results of analysis of raw Si_3N_4 powder (Unit. wt %)

elements	Si	N	O	Al	Fe	Ca	Na	Mg	K
wt%	58.6	37.9	1.21	0.12	0.25	0.04	0.03	0.008	0.005

II-2. 시편의 조합 및 시편제작

시편의造成比는三角座標를利用하여wt%로Fig. 1에나타내었다.各組成에對하여시편총량의무게는約2g정도되며하고 $\phi 1.5\text{cm} \times 0.4\text{cm}$ 의disc型으로壓力1ton/cm²로成形하였으며이때5%의CMC용액1~2방울첨가하여成形하였다.

II-3. 燃成

各試片은內經7cm의Siliconit發熱體로된電氣爐의高 알루미나質tube內에서燒成하였다.本實驗에서使用的窒素霧圍氣燒成實驗裝置는Fig. 2에서나타내었다.

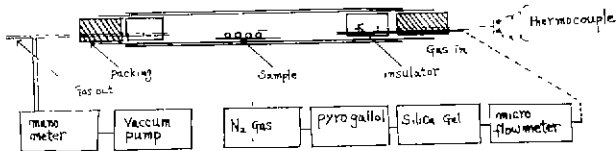


Fig. 2 Apparatus for experiment.

1,600°C에서1시간再燒成한것을취하였다.生成物은主로粉末X線回折法에依하여解析하였으며이들試料의微構造는成形體의破斷面을走査型電子顯微鏡에依하였다.

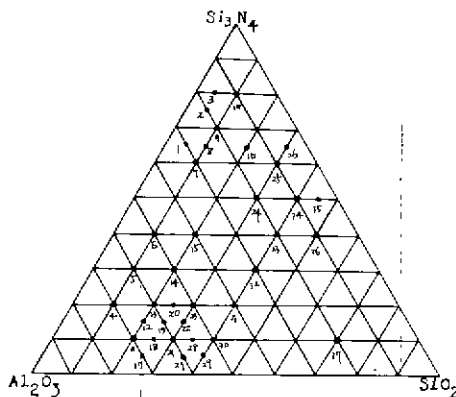


Fig. 1 Composition tested in the Si_3N_4 - Al_2O_3 - SiO_2 System.

이때Fig. 1에서주어진造成에依해組合된disc型의試片를高 알루미나質tube에넣고爐內氣壓을大氣壓의 N_2 gas霧圍氣로조절하였으며 $50^\circ\text{C}/\text{min}$ 의速度로 $1,600\sim 1,700^\circ\text{C}$ 의所定溫度까지昇温하였다. 다음所定의溫度에서1時間維持後爐內방냉시켰다.測定은Pt Rh₂₀-Pt Rh₄₀熱電對로했으며溫度의오차는 $\pm 5^\circ\text{C}$ 였다.

II-4. X線回折分析 및 微構造觀察

加熱處理한試料는半으로나누어그中하나를다시

III. 實驗結果 및 考察

III-1. 相關係

1,700°C에서방냉한시료와1,600°C에서다시燒鈍한試料에對하여X線回折分析으로나타난結晶相을Table 2에나타내었으며또한이들의結果로부터相關係는Fig. 4에나타내었다.

Fig. 3에서는Si-Al-O-N系의quaternary system¹⁹⁾을나타내며Fig. 4에서는 Si_3N_4 - Al_2O_3 - SiO_2 系의1,700°C

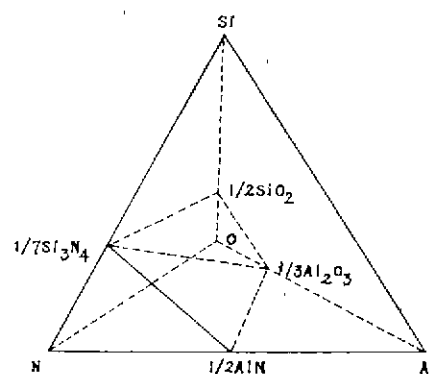


Fig. 3 Quaternary representation of the Si-Al-O-N System.

Table 2. Compounds observed in Si_3N_4 - Al_2O_3 - SiO_2 system at 1,600°C and 1,700°C

Sample No	Compounds observed			Note*
	aftercooling from 1,600°C	after cooling from 1,700°C	reheated at 1,600°C	
1	$\beta' > A > X$			
2	$\beta' > X > A$			
3	$\beta' > X > \text{Ox} > A$	$\beta' > X > \text{Oxtr.}$	$\beta' > X > \text{Oxtr.}$	
4	$X > A > M > \beta'$			
5	$X > A > M > \beta'$	$X > \beta' > A > \text{Mtr.}$	$X > \beta' > A > \text{Mtr.}$	A Dec
6	$X > A > M > \beta'$	$X > \beta' > A$	$X > \beta' > A$	A Dec
7	$X > \beta' > M > A > \text{Ox}$	$\beta' > X$	$\beta' > X$	
8	$\beta' > X > M > A > \text{Ox}$			
9	$\beta' > X > \text{Ox} > M > A$	$\beta' > X > \text{Ox}$	$\beta' > X > \text{Ox}$	
10	$\text{SN} > \text{Ox} > X$	$\text{SN} > \text{Ox}$	$\text{SN} > \text{Ox}$	
11	$M > A > X > \beta'$			
12	$M > A > X \wedge \beta'$			
13	$M > A > X > \beta'$			
14	$M > A > X > \beta'$	$X > M > \beta' > \text{Atr.}$	$X > M > \beta'$	X Inc
15	$M > A > X > \text{Ox} > \beta'$	$X > \beta' > M > \text{Ox} > \text{Atr.}$	$X > \beta' > M > \text{Ox}$	X Inc
16	$\beta' > \text{Ox} > X > A$			
17	$M > A$			
18	$M > A > X > \beta'$			
19	$M > A > X > \text{Ox} > \beta'$	$X > M > \text{Ox} > \beta' \text{tr} > \text{Atr.}$	$X > M > \text{Ox}$	X Inc
20	$M > A > X > \text{Ox} > \beta'$	$X > M > \text{Ox} > \beta' \text{tr} > \text{Atr.}$	$X > M > \text{Ox}$	X Inc
21	$M > A > X > \beta'$			
22	$M > A > X > \text{Ox} > \beta'$	$X > M > \text{Ox} > \beta' \text{tr.}$	$X > M > \text{Ox}$	X Inc
23	$M > A > X > \text{Ox} > \beta'$	$X > M > \text{Ox} > \beta' > \text{Atr.}$	$X > M > \text{Ox} > \beta' \text{tr.}$	X Inc
24	$M > A > X > \text{Ox} > \beta'$			
25	$\beta' > \text{Ox} > X > C > A > M$	$\text{Ox} > \beta' > X$	$\text{Ox} > \beta' > X$	Ox Inc
26	$\text{SN} > C > \text{Ox}$	$\text{SN} > \text{Ox}$	$\text{SN} > \text{Ox}$	
27	$M > A > X > \beta' > \text{Ctr}$	$M > A > X > \text{glass}$	$M > A > X > \text{glass}$	
28	$M > A > \beta' > X > \text{Ox}$			
29	$M > A > \beta'$	$M > A > \text{UN} \cdot \text{glass}$	$M > A > \text{UN} \cdot \text{glass}$	
30	$M > A > \beta' > X$	$M > A > \text{UN} \cdot \text{glass}$	$M > A > \text{UN} \cdot \text{glass}$	
31	$M > \beta' > \text{Ox} > X > A$			
32	$\beta' > M > A > \text{Ox} > X > C$			
33	$\beta' > \text{Ox} > X > M > A > C$			
34	$\beta' > \text{Ox} > X > C > M > A$			
35	$\beta' > C > X > \text{Ox}$			
36	$C > \beta' > \text{Ox} > \text{UN}$			
37	$C > M > A > \beta' > \text{Ox} > \text{UN}$			

β' : β' - Si_3N_4 SN : Si_3N_4 M : Mullite Ox : Si_2ON_2 C : SiO_2 A : Al_2O_3 UN : unknown phase

* Inc : increase Dec : decrease

에서의 相關係를 보여준다. Fig. 4에서 알 수 있듯이 Si_3N_4 - Al_2O_3 - SiO_2 系의 1,700°C에서 나타나는 主化合物은 β' - Si_3N_4 , Si_2ON_2 , X-phase 및 Mullite이다. β' -

Si_3N_4 는 Si_3N_4 에 Al_2O_3 가 固溶된 固溶體로써 이系에서 광범위하게 나타나며, Oyama²⁾등은 Si_3N_4 - Al_2O_3 의 二成分系에서 Group I로써 명명한 化合物이다. Si_2ON_2

도 역시 이 系에서 매우 광범위하게 存在하며 Al₂O₃가 적은 영역에서 存在한다. X-phase는 이 系에서 그 融

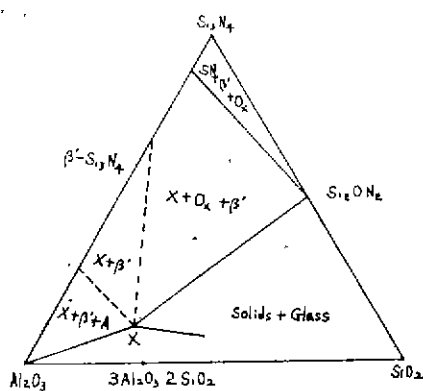


Fig. 4 Phase relation at 1,700°C derived from Table 2. Notation of each compound is same as in Table 2.

點이 낮으므로 高溫材料의 性質에 큰 영향을 미치는 매우 重要한 化合物로써 이는 Mullite의 結晶構造의 변형으로 알려져 있으며^{11,12)} 이 系의 거의 전범위에서 生成하고 있다.

III-2. X-phase

X-線回折分析 및 走査電子顯微鏡에 의한 微構造 관찰결과 시편번호 19, 20, 22, 및 23 등의 주요한 삼은 X-phase를 이루고 있다.

X-phase는 Oyama 및 Kamigaito²⁾에 의해 처음으로 제기되었으며 그 이후 이에 대한 많은 研究者들의 研究結果가 보고되고 있다. 즉 L. J. Kauckler¹³⁾는 X-phase의 組成으로 Si₄Al₄O₁₁N₂로 발표하였고 최근에는 Inomato¹⁴⁾ 등이 Si₆Al₇O₁₈N₃으로 제안했다. 또한 Okamura¹²⁾ 등이 단결정성장에 따라(最大 0.03×0.10×0.3 m/m) 格子定數 $a=15,931\text{Å}$ $b=11,165\text{Å}$ $c=8,540\text{Å}$ $\alpha=90.01^\circ$ $\beta=100.29^\circ$ $\gamma=90.99^\circ$ 로 보고되었으나 아직 완

전 究明되지 않고 있다. 本實驗에 의한 X-phase의 組成은 Si₃Al₆O₁₄N₄로 나타났다. 이는 G. K. Layden¹⁵⁾이 보고한 結果와 유사한 組成으로 지금까지 發表된 X-phase의 組成을 비교하면 Table 3에 나타낸 바와 같다.

Fig. 5는 시편번호 14, 19 및 27의 X線回折圖를 나타낸 것으로 X-phase와 Mullite로 구성되어 있음을 알

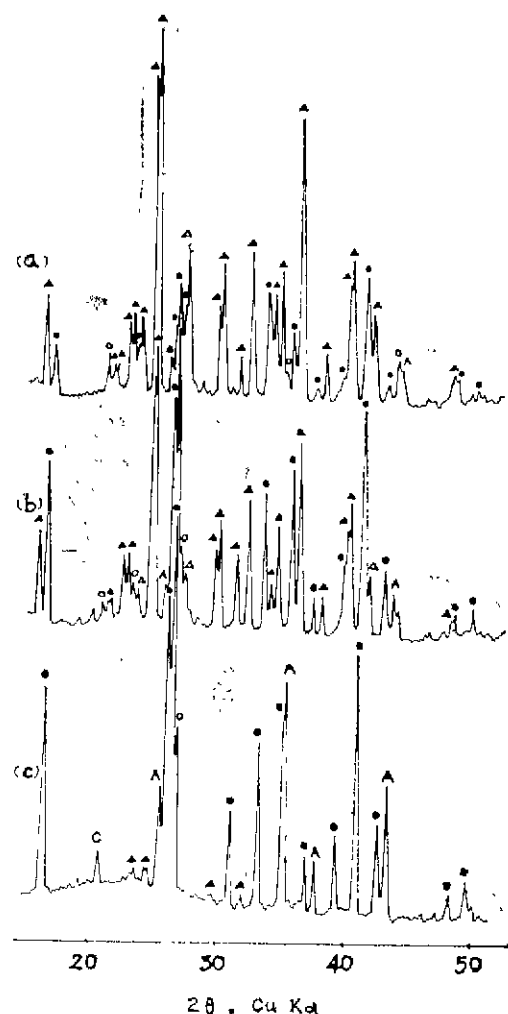


Fig. 5. The X-ray diffraction patterns of sample No. 14, 19 and 27 heated at 1,700°C.

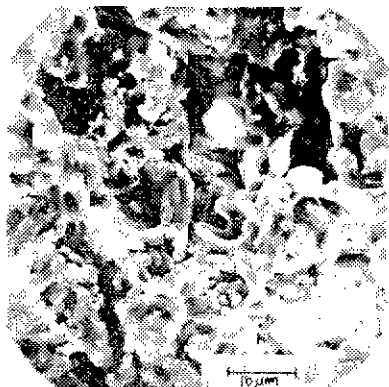
- a. No. 14 ▲ X-Phase
- b. No. 19 ● Mullite
- c. No. 27 △ β'-Si₃N₄
- Si₃N₄(α)
- A Al₂O₃
- C SiO₂

Table 3. Proposed compositions of the X-Phase

Composition	Al/Si	N/O	Ref.
Si ₆ Al ₆ O ₉ N ₈	1.0000 ^b	0.8891	16
SiAlO ₂ N	1.0000	0.5000	11
Si ₄ Al ₄ O ₁₁ N ₂	1.0000	0.1817	13
Si ₃ Al ₆ O ₁₂ N ₂	2.0000	0.1667	15
Si ₇ Al ₆ O ₂₃ N ₃	1.2860	0.1304	17
Si ₁₂ Al ₁₈ O ₃₉ N ₈	1.5000	0.2051	18
Si ₃ Al ₅ O ₁₄ N ₄	2.0000	0.2857	Present result

수 있으며 그중 대표적인 시료 19의 전자현미경사진을 Fig. 6에 나타내었다. Mullite로 거의 구성되어 있고 X-phase가 거의生成하지 않는 시료 27의 전자현미경사진에서는 Fig. 6에서 볼수 있는 직각판상이 나타나지 않으며 시료 14에서는 Mullite가 거의 존재하지 않으나 X-phase가生成되는結果로부터 X線回折圖의結果와 일치하여 직각판상이 나타나는 것으로 보아 이직각판상은 X-phase의結晶狀으로 추정할 수 있다.

X-phase의 溶融이 $1,650^{\circ}\text{C}$ (K. H. Jack)¹⁷⁾ 혹은 최근 $1,700^{\circ}\text{C}$ 로 다시 밝혀졌다. 시편 19에서 보이는液狀은 X-phase의 용융에 의한 것으로 추정된다. $1,700^{\circ}\text{C}$ 에서의 전자현미경 사진과 다시 $1,600^{\circ}\text{C}$ 에서 1시간 再加熱시킨 사진과 비교해 보면 미반응의 Al_2O_3 등이 再加熱에 의해 反應이 完了되어 後에는 나타나지 않으며 더치밀한 소결체를 형성하고 있음을 보여준다.



a) Sample No. 19 at 1,700°C.



b) Sample No. 19 at 1,700°C.



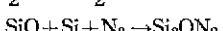
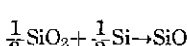
c) Sample No. 19 reheated for 1 hr at 1,600°C.



d) Sample No. 19 reheated for 1 hr at 1,600°C.

$\text{Fe}_2\text{O}_3 \cdot \text{SiO}_2 \cdot (\text{CaO} + \text{MgO})$

III-3. Si_2ON_2 (Silicon Oxynitride)
 Si_2ON_2 結晶은 그 조성에 가까운 시편 25에서 가장 많은 量이 관찰되었으나 넓은 組成의 영역에 걸쳐 존재한다. Si_3N_4 - SiO_2 系에서 Si_2ON_2 의 單結晶이 만들어졌다는 발표는 아직 없기 때문에 이에 대한 構造나 形狀이 구명되지 않고 있다. 다만 東伸行^{20, 21)} 등은 Si_2ON_2 的 結晶을 $\text{Si}-\text{SiO}_2$ 的 混合粉末를 $1,400^{\circ}\text{C}$ 에서 窒化시킴으로서 針狀의 결정을 얻었다고 發表하였으며 이에의 反應 mechanism 은



의生成과정으로 이때 $\text{SiO} + \text{N}_2$ 의反應은 $1,050^{\circ}\text{C}$ 로부터 시작하여 $1,400^{\circ}\text{C}$ 에서 급격한 증가를 보이는 것으로 추측하고 있다.

그러나 본설협의 조건에서 생각할 때 이와 같은 반응은 고려 할 수 없다. 從來 Si_2ON_2 는 $\text{Si}_3\text{N}_4 + \text{SiO}_2 \rightarrow 2\text{Si}_2\text{O}$ N_2 의 反應으로 合成되지 않는다고 보고 되었으나 Ino-

mta²²⁾는 1,630°의 높은 온도에서 이反應에 의해 Si_2ON_2 가生成됨을 확인하였다. 따라서本實驗에서도 1,700°C의高溫을 채用하였고 粒子도 매우 미세한 시료를 사용한 점으로 미루어 Si_3N_4 와 SiO_2 의直接 반응에 의한 Si_2ON_2 의生成을 예측할 수 있다. 즉 Fig. 8에 나타난 편상의結晶은 X線回折分析結果와 더불어 Si_2ON_2 의結晶狀으로 추정된다.

Si_2ON_2 는 1,700°C 소결후 다시 1,600°C에서 1시간 再加熱시켰을 경우 Fig. 7에서 보여 주는 바와 같이 Si_2ON_2 의結晶이 더욱 많이生成되었고 비반응 物質인 SiO_2 와 Si_3N_4 의 양이 줄어듬을 알 수 있다. 또한 Fig. 8의 電子顯微鏡사진의結果에서 Si_2ON_2 의 결정成長이 再加熱에 依해 현저하게 일어남을 보여주어 X線回折分析의結果와 좋은 일치를 보여준다. 또 이때의結晶成長은 전자현미경사진에서 보여주는 바와 같이 편상이 방향성을 갖는 성장을 이루고 있음을 나타낸다.

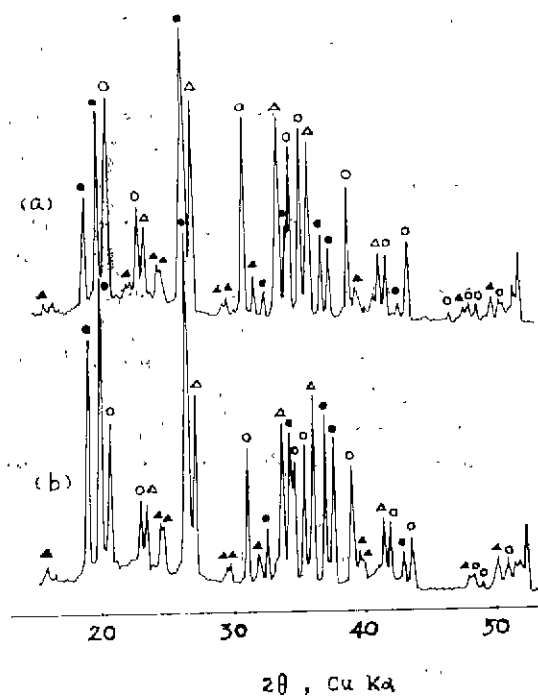
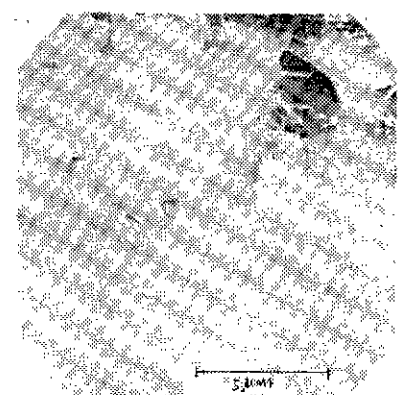


Fig. 7 The X-ray Diffraction Patterns of Sample No. 25 Heated at 1,700°C
 a. at 1,700°C ● Si_2ON_2
 b. reheated at ▲ X-phase
 1,600°C ○ Si_3N_4 (a)
 △ β' - Si_3N_4



a) Sample No. 25 at 1,700°C.



b) Sample No. 25 reheated for 1hr at 1,600°C.

Fig. 8 The SEM photographs of fracture surface of compact sintered.

IV. 結論

Si_3N_4 - Al_2O_3 - SiO_2 의三成分系에서生成하는化合物의相關關係를 1,700°C에서 검토하였으며 그結果는 대략 Fig. 3과같이 나타내어진다. 이系에서 安定한化合物로는 β' - Si_3N_4 , X-phase, Si_2ON_2 및 Mullite 등이며 이때 X-phase의組成은 本實驗結果 $\text{Si}_3\text{Al}_6\text{O}_{14}\text{N}_4$ 로 확인되었으나 이는 다른研究者の結果와 매우 유사한 값이다. Si_2ON_2 의結晶狀은 편상을 나타내며 이는 Si_3N_4 + SiO_2 의直接 반응에 의한 것으로 추정된다. 한편 1,700°C에서 소성한 시료로 다시 1,600°C에서再加熱시켰을 때 X-phase 및 Si_2ON_2 의結晶은 현저하게結晶成長을 일으키며 비반응 物質도 충분히 반응하였다. 이系에서 SiO_2 가 등부한 영역은 Glass相이 많이 나타나며 이에 함께存在하는 固體相은 앞으로 좀더 많은究明이 要求된다.

V. 参考文献

1. 小出一成, 杉浦謙次, 森 正章: “最近の窒化珪素耐化物” セラミックス, 8(10) 816-823 (1973)
2. 小山陽一, 上恒外修己: “ Si_3N_4 -MgO 系焼結體” 日窯協, 81 (7) 290-293 (1973)
3. 小山陽一, 上恒外修己: 窒化珪素-アルミニナ系焼結體“日窯協 80 (8) 327-336 (1972)
4. George. E. Gazz: “Effect of Yttria Additions on Hot pressed Si_3N_4 ”, Amer. Cer. Soc. Bull. 54(9) 778-781 (1975)
5. 小山陽一: “Solid solution in the System Si_3N_4 -AlN-Al₂O₃” 日窯協, 82 (7) 351-357 (1974)
6. 神谷信雄, 小山陽一, 上恒外修己: “ Si_3N_4 -AlN-SiO₂ 系に生ずる 窒化珪素固溶體” 日窯協 83(11) 553-557 (1975)
7. 猪股吉三, 長谷川安利: “Phase Relation in the Compounds Appeared in a System, Si_3N_4 (60m%) - Y_2O_3 -Al₂O₃-SiO₂ at 1600°C” 日窯協, 85(11) 533-537 (1977)
8. F. F. Lange: Phase Relations in the System Si_3N_4 -SiO₂-MgO and Their Interrelation with Strength and Oxidation” J. Amer. Cer. Soc., 61. No. 1-2 53-56 (1978)
9. F. F. Lange, S.C. Singhal, R.C. Kuznicki: “Phase Relations and Stability Studies in the Si_3N_4 -SiO₂- Y_2O_3 Pseudoternary System” J. Amer. Cer. Soc. 60. No. 5-6 249-252 (1977)
10. Hun. C. YEH, William A. Sanders and Jere L. Fiyako Luttner: “Pressure Sintering of Si_3N_4 -Al₂O₃ (Sialon) Amer. Cer. Soc. Bull. 56 No. 2 189-193 (1977)
11. K.H. Jack: “Review Sialons and related nitrogen Ceramics” J. Mat. Sci. 11, 1135-1158 (1976)
12. 岡村富士夫, 井上善三郎: “Sialon, X-phase の結晶構造” 티발표
13. L.J. Gauckler, H.L. Lukas and G. Detzow: “Contribution to the phase Diagram Si_3N_4 -AlN-Al₂O₃-SiO₂” J. Amer. Cer. Soc. 58 346 (1975)
14. 猪股吉三, 小野 晃, 長谷川安利, 矢島祥行: “The Composition of Mullite Like Compound Appeared in Si-Al-O-N System” 日窯協 87 (7) 371-374 (1979)
15. G.K. Layden: Paper presented at the Basic Science Fall Meeting of Amer. Cer. Soc. (1976)
16. 小山陽一, 上恒外修己: “Solid Solubility of some Oxides in Si_3N_4 ,” Jap. J. Appl. Phys. 10 (11) 1637 (1971)
17. K.H. Jack: Technical Report DAERO-76-067 (1977)
18. I. K. Naik, L. J. Gauckler, T. Y. Tien: J. Amer. Cer. Soc. 61. 332 (1978)
19. P. L. Land, T. M. Wimmer, R. W. Burns and N.S. Choudhury: “Compounds and properties of the System Si-Al-O-N” J. Amer. Cer. Soc. 61No 1-2, 56-60 (1978)
20. 東 伸行, 山田留, 林宏: “Si-SiO₂ 系混合粉末の 窒化過程における Si_2ON_2 針状結晶の成長” 日窯協, 86 (1) 20-33 (1978)
21. 東 伸行, 山田留, 桑原千三: “Si-SiO₂ 系混合粉末の 窒化過程における Si_2ON_2 針状結晶の生成過程及び成長速度” 日窯協 86 (9) 418-424 (1978)
22. 猪股吉三: “ β - Si_3N_4 - α - Si_3N_4 -Si₂N₂O 系 1,600°C 以上における安定関係と加熱変化” 日窯協 82 (10) 522-526 (1974)
23. 猪股吉三, 長谷川安利, 松山長夫, 矢島祥行: “窒化珪素の 加壓焼結助剤としての ZrO₂” 日窯協, 84 (12) 600-604 (1976)